

## Ingeniería en electrónica

### Técnicas Digitales 1

#### Trabajo Práctico N°2: Conversor BCD a 7 Segmentos

##### Profesores

Titular: Ing. Toledo Luis Eduardo

JTP: Ing. Mercado Jorge Nicolás

##### GRUPO: 06

Alumnos: Rafael Funes Leg:96529 (3R2)

Nieto Tiago Leg: 89859 (3R2)

##### Índice

• <i>Introducción</i>	pág. 2
• <i>Desarrollo</i>	pág. 2
• <i>Materiales</i>	pág. 9
• <i>Dificultades/inconvenientes</i>	pág. 10
• <i>Conclusión</i>	pág. 10

## Introducción

En este proyecto nos proponemos llevar a cabo el testeo y análisis del circuito integrado CD4511. Adicionalmente se realizará la descripción de hardware de dicho circuito integrado el cual se ejecutará en una placa de desarrollo FPGA.

## Desarrollo

El integrado CD4511 se trata de un conversor de cuatro entradas binarias

a siete salidas orientadas al manejo de un display de siete segmentos. Para su demostración utilizando el minilab dispusimos un display de cátodo común, ya que es el mismo tipo de display que tiene el kit CPLD. Este tipo de configuración consiste en proveer un uno lógico a cada segmento que se desee encender, y al estar todos los cátodos de los segmentos conectados al polo negativo de la alimentación, al enviar un estado alto en los segmentos estos se encenderán.

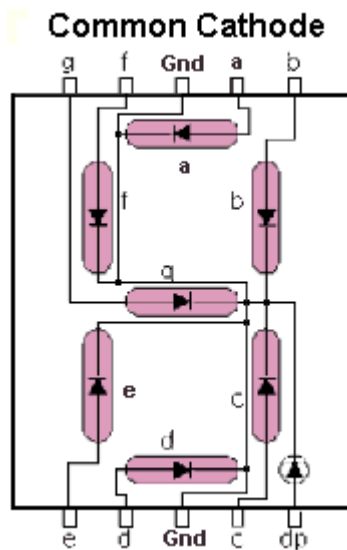


Imagen 1: Diagrama display cátodo común

El integrado CD4011 cuenta con 3 entradas de control adicionales a las cuatro del BCD, estas entradas son “lamp test”, “blanking” y “latch enable”.

Lamp test nos permite visualizar el correcto funcionamiento del display con un nivel de entrada bajo. De estar el nivel de entrada alto el display se apagará.

Blanking nos permite efectuar la conversión BCD a los siete segmentos del display con un nivel de entrada alto.

Latch enable, de poseer un nivel de entrada alto, generara como salida del integrado las salidas correspondientes al ultimo valor BCD previo a ser activado.

A continuación, se dispone una tabla de verdad del integrado CD4011 para su mayor comprensión:

LE	B	C	D	C	B	A	a	b	c	d	e	f	g	Display
X	X	0	X	X	X	X	1	1	1	1	1	1	1	8
X	0	1	X	X	X	X	0	0	0	0	0	0	0	Blank
0	1	1	0	0	0	0	1	1	1	1	1	1	0	0
0	1	1	0	0	0	1	0	1	0	0	0	0	0	1
0	1	1	0	0	1	0	1	1	0	1	1	0	1	2
0	1	1	0	0	1	1	1	1	1	0	0	1	1	3
0	1	1	0	1	0	0	0	1	1	0	0	1	1	4
0	1	1	0	1	0	1	0	0	1	1	0	1	1	5
0	1	1	0	1	1	0	0	0	1	1	1	1	1	6
0	1	1	0	1	1	1	1	1	1	0	0	0	0	7
0	1	1	0	1	1	1	1	1	1	1	1	0	0	8
0	1	1	0	1	1	1	1	1	1	1	1	1	1	9
0	1	1	1	0	1	0	0	0	0	0	0	0	0	Blank
0	1	1	1	0	1	1	0	0	0	0	0	0	0	Blank
0	1	1	1	1	0	0	0	0	0	0	0	0	0	Blank
0	1	1	1	1	1	0	0	0	0	0	0	0	0	Blank
0	1	1	1	1	1	1	0	0	0	0	0	0	0	Blank
1	1	1	X	X	X	X	*	*	*	*	*	*	*	*

Imagen 2: Tabla de verdad integrado CD4011

Dispusimos el circuito integrado en la protoboard y corroboramos el correcto funcionamiento del integrado.

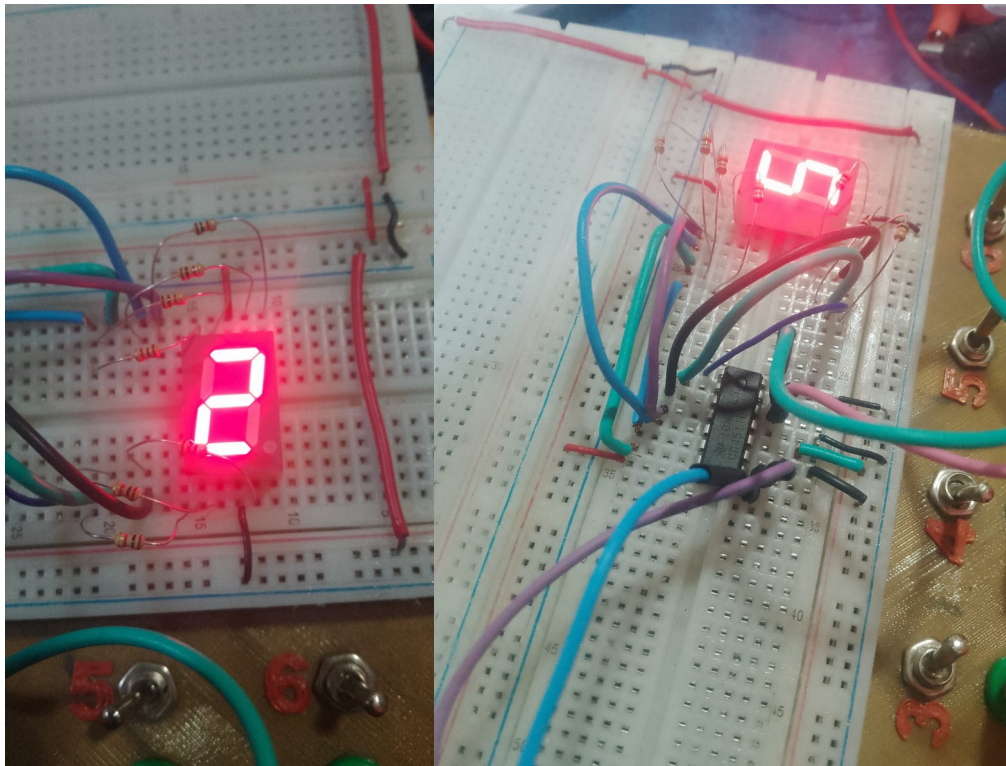


Imagen 3 y 4: Testeo CD4011 dentro del entorno minilab

Habiendo concluido con las pruebas en el minilab procedemos a realizar la descripción de hardware. Para eso realizamos mapas de Karnaugh de cada salida en base a la tabla de verdad anteriormente propuesta en la imagen dos.

Salida A:

		AB	
		00	01
CD	00	1	0
	01	1	1
	11	0	0
	10	0	1

Salida B:

		AB	
		00	01
CD	00	1	0
	01	1	1
	11	0	0
	10	1	1

Salida C:

		AB	
		00	01
		11	10
CD	00	1	0
	01	0	1
	11	0	0
	10	1	1

Salida D:

		AB	
		00	01
		11	10
CD	00	1	0
	01	1	1
	11	0	0
	10	1	0

Salida E:

		AB	
		00	01
CD	00	1	0
	01	1	1 1
	11	0	0
	10	1	0 1

Salida F:

		AB	
		00	01
CD	00	1	0
	01	0	1 1
	11	0	0
	10	1	0 1

### Salida G:

		AB			
		00	01	11	10
CD	00	1	0	0	0
	01	1	1	1	1
	11	0	0	0	0
	10	1	0	1	1

Posteriormente procedimos a utilizar el software Xilinx para realizar la correspondiente descripción de hardware del circuito integrado.

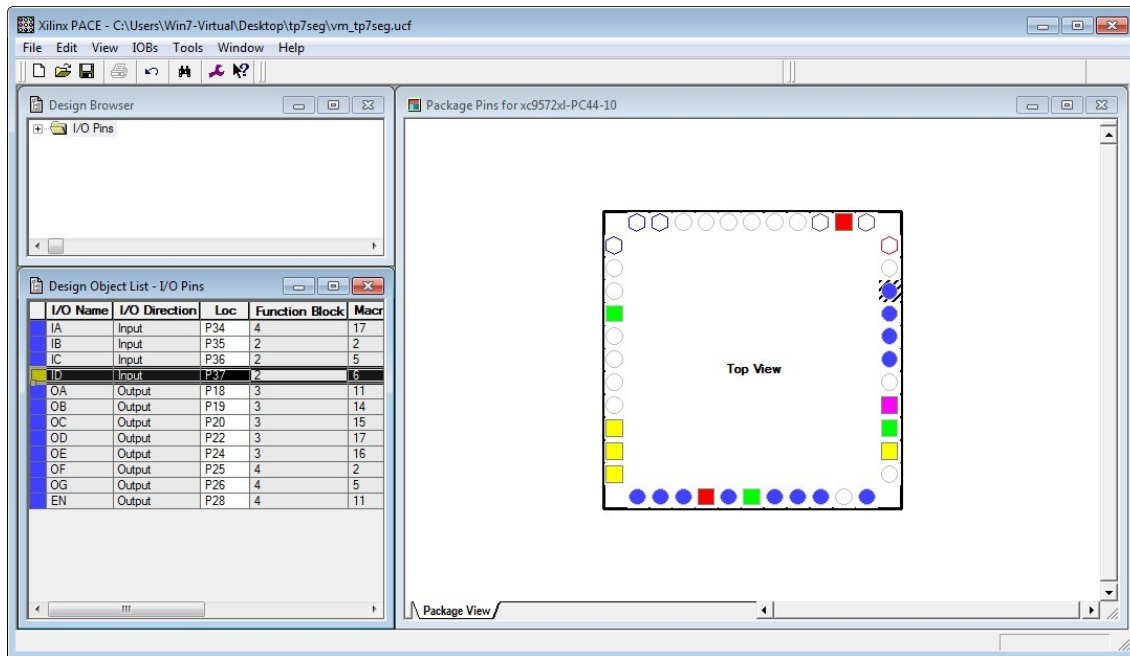
Realizamos el modulo en verilog con las respectivas funciones obtenidas de los mapas de karnaugh:

```

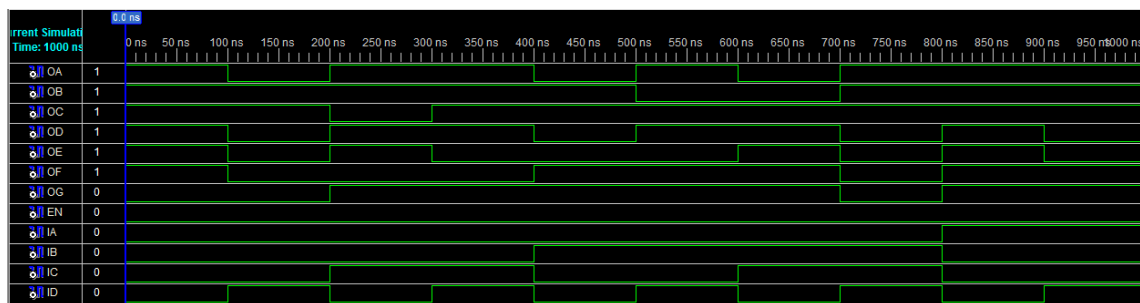
21 module vm_tp7seg(
22     input IA,
23     input IB,
24     input IC,
25     input ID,
26     output OA,
27     output OB,
28     output OC,
29     output OD,
30     output OE,
31     output OF,
32     output OG,
33     output EN
34 );
35
36 assign OA = ~IA&IB&ID | IA&~IB&~IC | ~IA&~IB&IC | ~IA&~IB&~ID;
37 assign OB = ~IA&~IB | ~IB&~IC | ~IA&~IC&~ID | ~IA&IC&ID;
38 assign OC = ~IA & IB | ~IA&~IC | ~IA&ID | ~IB&~IC;
39 assign OD = ~IB&~IC&~ID | ~IA&IC&~ID | ~IA&~IB&IC | ~IA&IB&~IC&ID;
40 assign OE = ~IA&IC&~ID | ~IB&~IC&~ID;
41 assign OF = IA&~IB&~IC | ~IA&IB&~IC | ~IB&~IC&~ID | ~IA&IB&~ID;
42 assign OG = IA&~IB&~IC | ~IA&~IB&IC | ~IA&IB&~IC | ~IA&IC&~ID;
43
44 assign EN=0;
45
46 endmodule

```

A continuación, dispusimos la selección de pines teniendo en cuenta entradas y salidas de datos y una salida “EN” en bajo nivel para encender el transistor que enciende el display del CPLD.



Luego utilizamos el dispositivo de prueba de verilog y simulamos para corroborar que los datos de entrada y salida sean congruentes:



### **Materiales que se utilizaron:**

- -Minilab.
- -CD4011.
- -Kit CPLD.
- -Resistencias.

### **Dificultades/ Inconvenientes:**

Los inconvenientes que surgieron a la hora de realizar este trabajo práctico se dieron a la hora de emplear el kit CPLD, ya que debido a una mala conexión del bus de datos entre la computadora y el kit, el software Xilinx no reconocía la placa de desarrollo. Este inconveniente se solucionó siendo más delicados y presentes a la hora de realizar todas las conexiones.

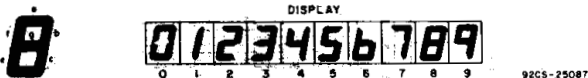
### **Conclusión:**

Este trabajo práctico nos permitió tener una clara puesta en práctica del kit CPLD, para el cual debimos basarnos en la descripción de hardware previamente realizada. Luego de este proyecto podemos afirmar que contamos con la experiencia para poner en práctica nuestros futuros proyectos que involucren descripción de hardware.

# CD4511B Types

## CMOS BCD-to-7-Segment Latch Decoder Drivers

### High-Voltage Types (20-Volt Rating)



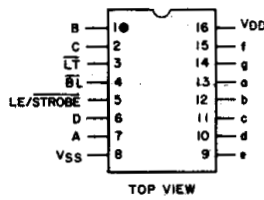
92CS-25087

**CD4511B types are BCD-to-7-segment latch decoder drivers constructed with CMOS logic and n-p-n bipolar transistor output devices on a single monolithic structure. These devices combine the low quiescent power dissipation and high noise immunity features of RCA CMOS with n-p-n bipolar output transistors capable of sourcing up to 25 mA. This capability allows the CD4511B types to drive LED's and other displays directly.**

Lamp Test (LT), Blanking (BL), and Latch Enable or Strobe inputs are provided to test the display, shut off or intensity-modulate it, and store or strobe a BCD code, respectively. Several different signals may be multiplexed and displayed when external multiplexing circuitry is used.

The CD4511B types are supplied in 16-lead hermetic dual-in-line ceramic packages (F3A suffix), 16-lead dual-in-line plastic packages (E suffix), 16-lead small-outline packages (NSR suffix), and 16-lead thin shrink small-outline packages (PW and PWR suffixes).

These devices are similar to the type MC14511.



**CD4511B  
TERMINAL ASSIGNMENT**

### Features:

- High-output-sourcing capability ..... up to 25 mA
- Input latches for BCD Code storage
- Lamp Test and Blanking capability
- 7-segment outputs blanked for BCD input codes > 1001
- 100% tested for quiescent current at 20 V
- Max. input current of 1  $\mu$ A at 18 V, over full package-temperature range, 100 nA at 18 V and 25°C
- 5-V, 10-V, and 15-V parametric ratings

### Applications:

- Driving common-cathode LED displays
- Multiplexing with common-cathode LED displays
- Driving incandescent displays
- Driving low-voltage fluorescent displays

### MAXIMUM RATINGS, Absolute-Maximum Values:

#### DC SUPPLY-VOLTAGE RANGE, ( $V_{DD}$ )

Voltages referenced to  $V_{SS}$  Terminal) ..... -0.5V to +20V

#### INPUT VOLTAGE RANGE, ALL INPUTS

..... -0.5V to  $V_{DD}$  +0.5V

#### DC INPUT CURRENT, ANY ONE INPUT

.....  $\pm 10$ mA

#### POWER DISSIPATION PER PACKAGE ( $P_D$ ):

For  $T_A = -55^\circ C$  to  $+100^\circ C$  ..... 500mW

For  $T_A = +100^\circ C$  to  $+125^\circ C$  ..... Derate Linearly at 12mW/ $^\circ C$  to 200mW

#### DEVICE DISSIPATION PER OUTPUT TRANSISTOR

FOR  $T_A =$  FULL PACKAGE-TEMPERATURE RANGE (All Package Types) ..... 100mW

OPERATING-TEMPERATURE RANGE ( $T_A$ ) ..... -55°C to  $+125^\circ C$

STORAGE TEMPERATURE RANGE ( $T_{STG}$ ) ..... -65°C to  $+150^\circ C$

#### LEAD TEMPERATURE (DURING SOLDERING):

At distance  $1/16 \pm 1/32$  inch ( $1.58 \pm 0.79$ mm) from case for 10s max .....  $+265^\circ C$

### OPERATING CONDITIONS AT $T_A = 25^\circ C$ Unless Otherwise Specified

For maximum reliability, nominal operating conditions should be selected so that operation is always within the following ranges

Characteristic	$V_{DD}$	Min.	Max.	Units
Supply-Voltage Range ( $T_A$ ): (Full Package-Temperature Range)	-	3	18	V
Set-Up Time ( $t_S$ )	5	150	-	ns
	10	70	-	ns
	15	40	-	ns
Hold Time ( $t_H$ )	5	0	-	ns
	10	0	-	ns
	15	0	-	ns
Strobe Pulse Width ( $t_W$ )	5	400	-	ns
	10	160	-	ns
	15	100	-	ns

## CD4511B Types

### STATIC ELECTRICAL CHARACTERISTICS

CHARACTERISTIC	TEST CONDITIONS				LIMITS AT INDICATED TEMPERATURES (°C)								Units	
	$I_{OH}$ (mA)	$V_o$ (V)	$V_{IN}$ (V)	$V_{DD}$ (V)	-55				-40					
					Min.	Typ.	Max.	Min.	Typ.	Max.	Min.	Typ.		
Quiescent Device Current: $I_{DD}$ Max.	-	-	-	5	5	5	150	150	-	0.04	5	-	$\mu A$	
	-	-	-	10	10	10	300	300	-	0.04	10	-		
	-	-	-	15	20	20	600	600	-	0.04	20	-		
	-	-	-	20	100	100	3000	3000	-	0.08	100	-		
Output Voltage:	-	-	0.5	5	0.05				-	0	0.05	-	V	
	-	-	0.10	10	0.05				-	0	0.05	-		
	-	-	0.15	15	0.05				-	0	0.05	-		
	-	-	0.5	5	4	4	4.2	4.2	4.1	4.55	-	-		
High-Level $V_{OH}$ Min.	-	-	0.10	10	9	9	9.2	9.2	9.1	9.55	-	-	V	
	-	-	0.15	15	14	14	14.2	14.2	14.1	14.55	-	-		
	-	-	0.5	5	4	4	4.2	4.2	4.1	4.55	-	-		
	-	-	0.10	10	9	9	9.2	9.2	9.1	9.55	-	-		
Input Low Voltage, $V_{IL}$ Max.	-	0.5, 3.8	-	5	1.5				-	-	1.5	-	V	
	-	1.8, 8	-	10	3				-	-	3	-		
	-	1.5, 13.8	-	15	4				-	-	4	-		
	-	0.5, 3.8	-	5	3.5				3.5	-	-	-		
Input High Voltage, $V_{IH}$ Min.	-	0.5, 3.8	-	5	7				7	-	-	-	V	
	-	1.8, 8	-	10	11				11	-	-	-		
	-	1.5, 13.8	-	15	4.0	4.0	4.20	4.20	4.10	4.55	-	-		
	-	-	-	5	3.80	3.80	3.90	3.90	3.90	4.10	-	-		
Output Drive Voltage: High Level $V_{OH}$ Min.	0	-	-	-	-	-	-	-	-	-	-	-	V	
	5	-	-	-	3.50	3.50	-	-	-	-	3.95	-		
	10	-	-	-	3.55	3.55	3.30	-	3.40	3.75	-	-		
	15	-	-	-	3.40	3.40	-	-	3.10	3.55	-	-		
Output Drive Voltage: High Level $V_{OH}$ Min.	20	-	-	-	9.0	9.0	9.20	9.20	9.10	9.55	-	-	V	
	25	-	-	-	8.85	8.85	9.00	9.00	9.00	9.15	-	-		
	0	-	-	-	-	-	-	-	-	-	9.25	-		
	5	-	-	-	-	-	-	-	-	-	4.25	-		
Output Low (Sink) Current, $I_{OL}$ Min.	10	-	-	-	-	-	-	-	-	-	9.05	-	mA	
	15	-	-	-	-	-	-	-	-	-	14.10	-		
	20	-	-	-	-	-	-	-	-	-	13.75	-		
	25	-	-	-	-	-	-	-	-	-	13.65	-		
Input Current, $I_{IN}$ Max.	-	0.18	0.18	18	$\pm 0.1$	$\pm 0.1$	$\pm 1$	$\pm 1$	-	$\pm 10^{-5}$	$\pm 0.1$	$\mu A$	-	

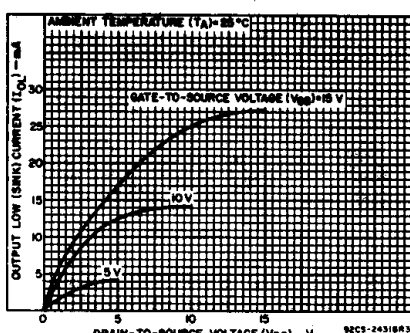


Fig. 1 – Typical output low (sink) current characteristics.

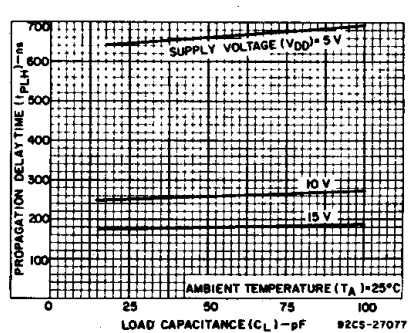


Fig. 2 – Typical data-to-output, low-to-high-level propagation delay time as a function of load capacitance.

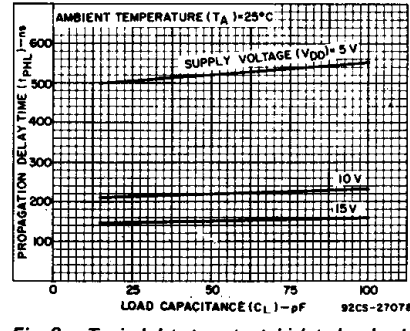


Fig. 3 – Typical data-to-output, high-to-low-level propagation delay time as a function of load capacitance.

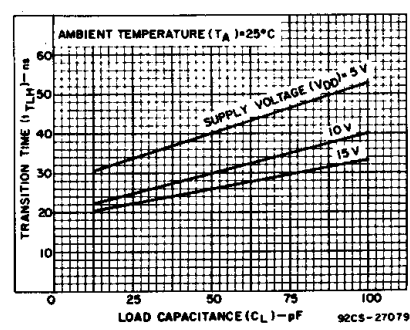


Fig. 4 – Typical low-to-high-level transition time as a function of load capacitance.

**CD4511B Types**

DYNAMIC ELECTRICAL CHARACTERISTICS at  $T_A = 25^\circ\text{C}$ , Input  $t_r, t_f = 20 \text{ ns}$ ,  
 $C_L = 50 \text{ pF}, R_L = 200 \text{ k}\Omega$

CHARACTERISTIC	Test Conditions	LIMITS All Packages			UNITS
		V <sub>DD</sub> Volts	Min.	Typ.	
Propagation Delay Time: (Data)	5	—	520	1040	ns
	10	—	210	420	
	15	—	150	300	
High-to-Low Level, t <sub>PHL</sub>	5	—	660	1320	ns
	10	—	260	520	
	15	—	180	360	
Low-to-High Level, t <sub>PLH</sub>	5	—	400	800	ns
	10	—	175	350	
	15	—	150	300	
Propagation Delay Time: (BL)	5	—	350	700	ns
	10	—	175	350	
	15	—	125	250	
High-to-Low Level, t <sub>PHL</sub>	5	—	400	800	ns
	10	—	175	350	
	15	—	150	300	
Low-to-High Level, t <sub>PLH</sub>	5	—	150	300	ns
	10	—	75	150	
	15	—	50	100	
Propagation Delay Time: (LT)	5	—	250	500	ns
	10	—	125	250	
	15	—	85	170	
High-to-Low Level, t <sub>PHL</sub>	5	—	150	300	ns
	10	—	75	150	
	15	—	50	100	
Transition Time:	5	—	40	80	ns
	10	—	30	60	
	15	—	25	50	
Low-to-High Level, t <sub>TLH</sub>	5	—	125	310	ns
	10	—	75	185	
	15	—	65	160	
High-to-Low Level, t <sub>THL</sub>	5	—	150	75	ns
	10	—	70	35	
	15	—	40	20	
Minimum Set-Up Time, t <sub>S</sub>	5	0	—75	—	ns
	10	0	-35	—	
	15	0	-20	—	
Minimum Hold Time, t <sub>H</sub>	5	400	200	—	ns
	10	160	80	—	
	15	100	50	—	
Strobe Pulse Width, t <sub>W</sub>					
Input Capacitance, C <sub>IN</sub>					
		—	5	7.5	pF

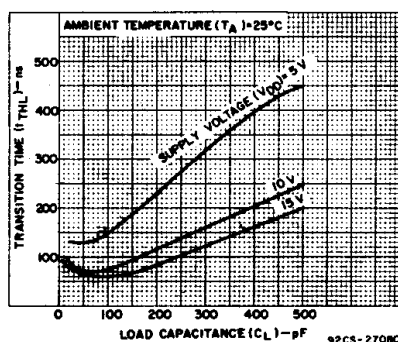


Fig. 5 – Typical high-to-low transition time as a function of load capacitance.

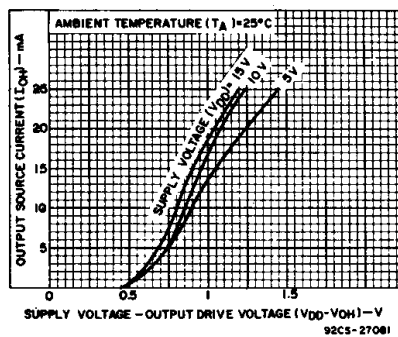


Fig. 6 – Typical voltage drop ( $V_{DD}$  to output) vs. output source current as a function of supply.

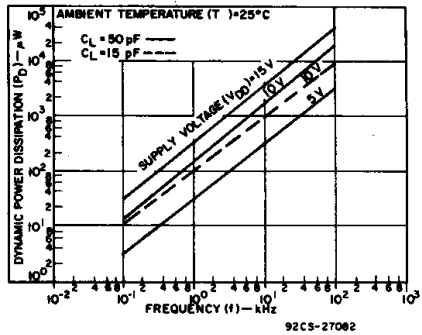


Fig. 7 – Typical dynamic power dissipation characteristics.

## CD4511B Types

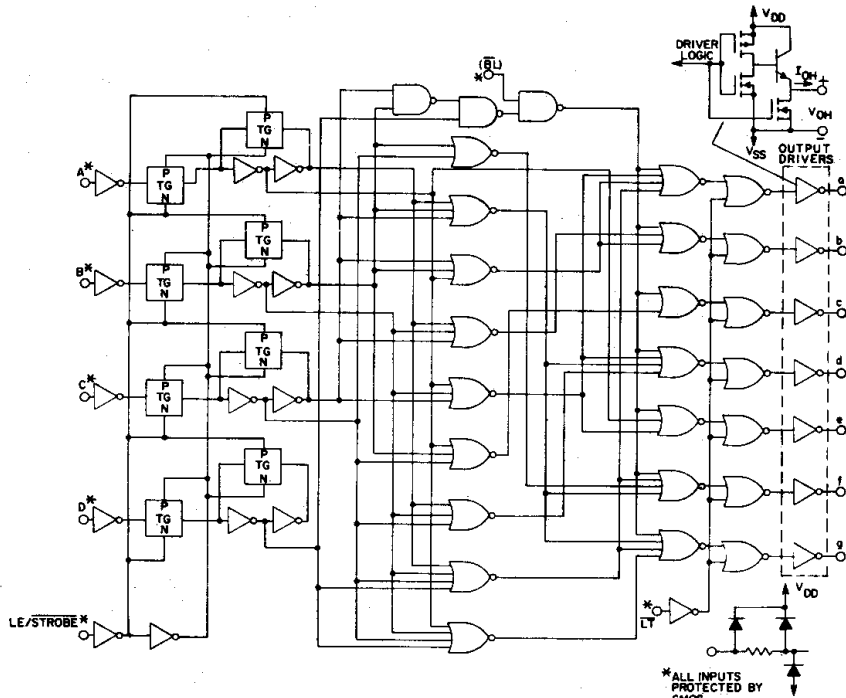


Fig. 8 - Logic diagram.

TRUTH TABLE														
LE	BI	LT	D	C	B	A	a	b	c	d	e	f	g	Display
X	X	0	X	X	X	X	1	1	1	1	1	1	1	8
X	0	1	X	X	X	X	0	0	0	0	0	0	0	Blank
0	1	1	0	0	0	0	1	1	1	1	1	1	0	0
0	1	1	0	0	0	1	0	1	1	0	0	0	0	2
0	1	1	0	0	1	0	1	1	0	1	1	0	1	3
0	1	1	0	0	1	1	1	1	1	0	0	1	1	4
0	1	1	0	1	0	0	0	1	1	0	1	0	1	5
0	1	1	0	1	1	1	1	1	1	0	0	1	1	6
0	1	1	0	1	0	1	0	1	1	1	0	1	1	7
0	1	1	1	0	0	0	1	1	1	1	1	1	1	8
0	1	1	1	0	0	1	1	1	0	0	1	1	1	9
0	1	1	1	1	0	0	0	0	0	0	0	0	0	Blank
0	1	1	1	1	0	0	0	0	0	0	0	0	0	Blank
0	1	1	1	1	0	0	0	0	0	0	0	0	0	Blank
0	1	1	1	1	0	0	0	0	0	0	0	0	0	Blank
0	1	1	1	1	1	1	0	0	0	0	0	0	0	Blank
1	1	X	X	X	X	X	*	*	*	*	*	*	*	*

X = Don't Care      \* Depends on BCD code previously applied when LE = 0

Note: Display is blank for all illegal input codes (BCD > 1001).

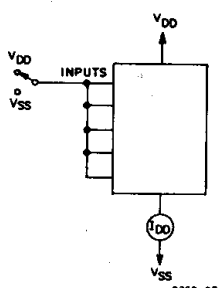


Fig. 9 - Quiescent device current.

### TEST CIRCUITS

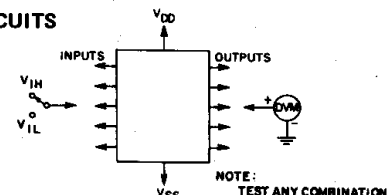


Fig. 10 - Input voltage.

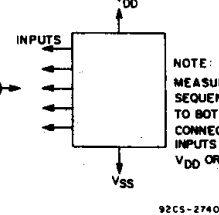


Fig. 11 - Input current.

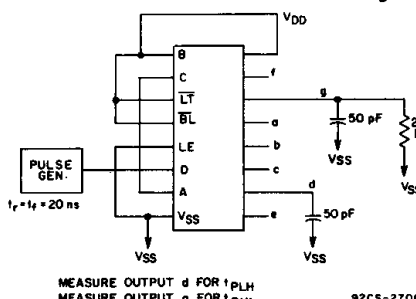


Fig. 12 - Data propagation delay.

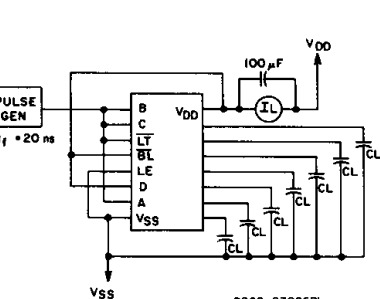


Fig. 13 - Dynamic power dissipation.

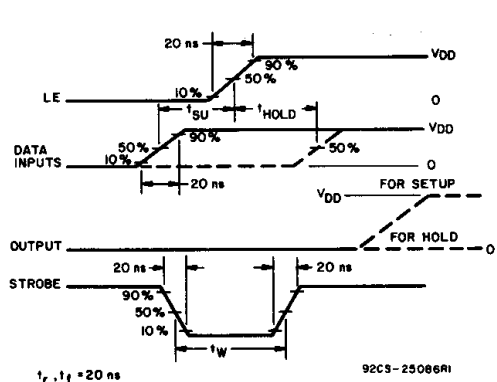
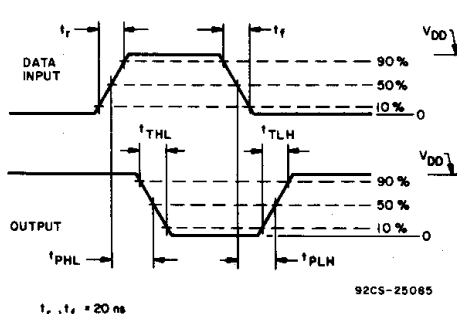
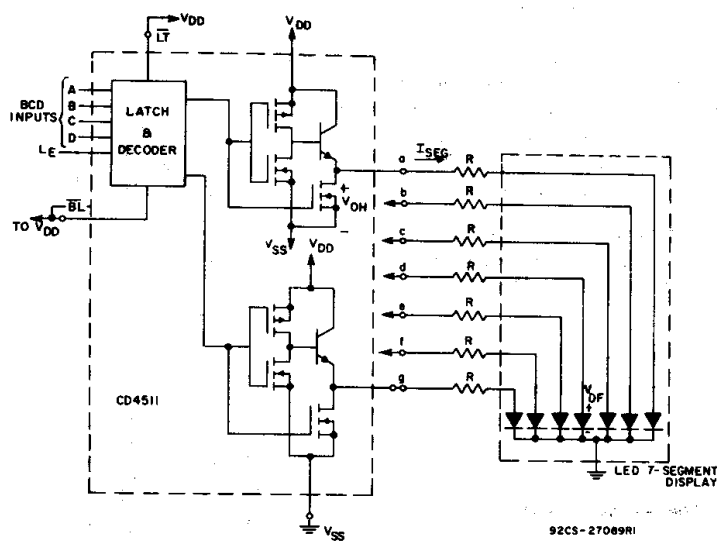


Fig. 14 - Dynamic waveforms.

## CD4511B Types

### APPLICATIONS

#### Interfacing with Various Displays

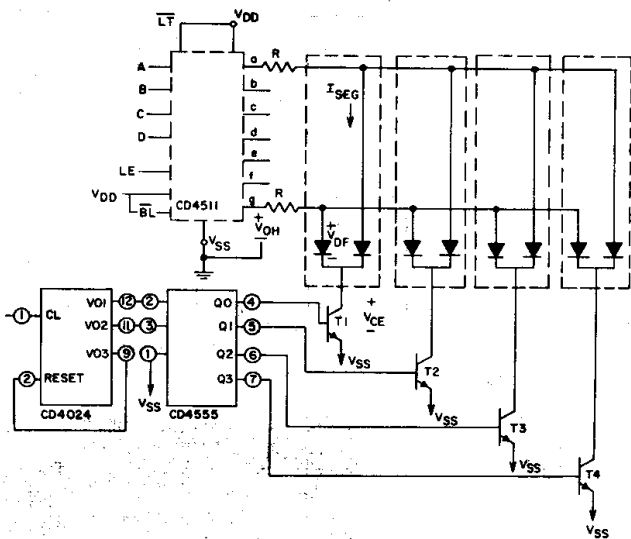


Duty Cycle = 100%

$I_{SEG} = I_{DIODE\ AVG.} = 20 \text{ mA}$  at Luminous Intensity/Segment = 250 microcandles

$$R = \frac{V_{OH} - V_{DF}}{I_{SEG}}$$

Fig. 15 - Driving common-cathode 7-segment LED displays (example Hewlett-Packard 5082-7740).



Multiplexing Scheme Showing 2 of 7 Segments Connected

Transistors T<sub>1</sub>-T<sub>4</sub> (RCA-2N3053 or 2N2102) have  $I_C$  Max. rating  $> 7 \times I_{SEG}$

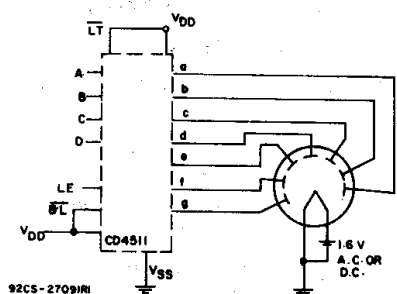
Duty Cycle = 25%

$I_{SEG} = [I_{DIODE\ AVG.}] \times 4$

$$R = \frac{(V_{OH} - V_{DF} - V_{CE})}{I_{SEG}}$$

All unused inputs on CD4555 are connected to V<sub>DD</sub> or V<sub>SS</sub>.

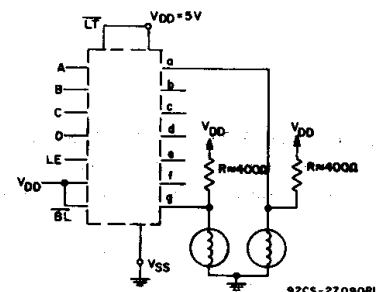
Fig. 18 - Multiplexing with common-cathode 7-segment LED displays (example Hewlett-Packard 5082-7404 4 character display or 4 discrete Monosanto Man 3 displays).



A medium-brightness intensity display can be obtained with low-voltage fluorescent displays such as the Tung-Sol Digivac S/G\*\* Series.

\*\*Trademark Tung-Sol Division Wagner Electric Co.

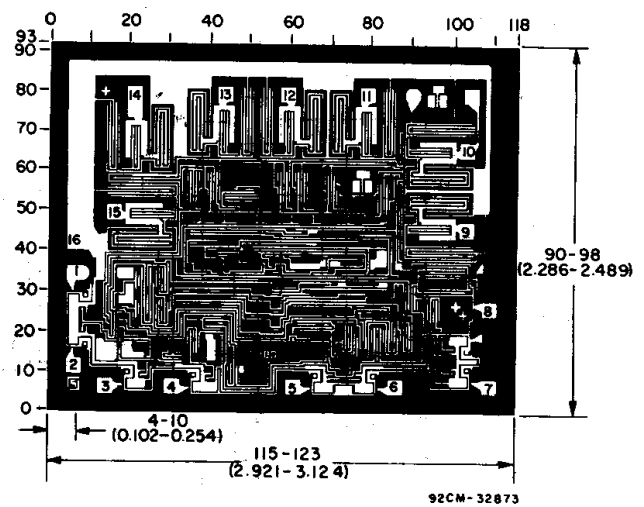
Fig. 16 - Driving low-voltage fluorescent displays.



2 of 7 Segments Shown Connected

Resistors R from V<sub>DD</sub> to each 7-segment driver output are chosen to keep all Numitron segments slightly on and warm.

Fig. 17 - Driving incandescent displays (RCA Numitron DR2000 series displays).



Dimensions and pad layout for CD4511B chip.

Dimensions in parentheses are in millimeters and are derived from the basic inch dimensions as indicated. Grid graduations are in mils ( $10^{-3}$  inch).